



پهنه‌بندی حوضه دریاچه ارومیه از نظر خشکسالی با روش تجزیه به عامل‌ها

مرضیه قربانی اقدم^{۱*} - یعقوب دین پژوه^۲ - احمد فاخری فرد^۳ - صابرہ دربندی^۴

تاریخ دریافت: ۱۳۹۰/۱۱/۲۵

تاریخ پذیرش: ۱۳۹۱/۵/۱

چکیده

روش‌های تحلیلی کاهش ابعاد داده‌ها مانند PCA برای درک صحیحی از عوامل مؤثر بر تعییرات اقلیمی با توجیه قسمت مهمی از کل واریانس با تعداد محدودی از مولفه‌های اصلی، در برنامه‌ریزی منابع آب حائز اهمیت است. روش تجزیه به عامل‌ها در این تحقیق به عنوان تصویرکننده فضای اطلاعات روی محورهای محدود و معین استفاده شده است. هدف اصلی این مطالعه پهنه‌بندی حوضه آبریز دریاچه ارومیه از نظر خشکسالی با روش تجزیه به عامل‌ها است. آمار بارش‌های ماهانه ۳۰ استگاه هواشناسی در دوره آماری ۱۹۷۲-۲۰۰۹ استفاده شد. شخص بارش استاندارد (SPI)، برای هر یک از استگاه‌های منتخب در دو مقیاس ۳ و ۱۲ ماهه به کار برد شد. تجزیه به عامل‌های مربوط به داده‌های SPI برای پهنه‌بندی منطقه از نظر مشخصه‌های خشکسالی انجام گردید. همگنی نواحی به دست آمده با روش آماره S ویلتشاربررسی شد. نتایج تجزیه به مولفه‌های اصلی SPI سه ماهه (دوازده ماهه) نشان داد که تعداد ۵ (۶) عامل ویژه بزرگتر از یک داردند و ۸۰/۸۰ (۷۸/۷۸) درصد از واریانس کل را در مجموع توجیه می‌کند. حوضه دریاچه ارومیه با توجه به ضرایب عامل‌ها پس از چرخش در مقیاس ۳ ماهه (۱۲ ماهه) به پنج (شش) ناحیه تقسیک شد. نتایج آزمون همگنی نشان داد که نواحی به دست آمده همگن هستند.

واژه‌های کلیدی: مقدار ویژه، بردار ویژه، تجزیه به عامل‌ها، خشکسالی، مولفه‌های اصلی، ارومیه، SPI سه و دوازده ماهه

مقدمه

غیر مستقیم اثرات زیانبخشی را بر بخش‌های مختلف اجتماع و محیط وارد می‌کند. مهم‌ترین اثر مستقیم خشکسالی تاثیر منفی آن بر کمیت و کیفیت منابع آبی منطقه درگیر خشکسالی است. با کم شدن بارندگی برای یک مدت طولانی، مراعع، جنگلهای، مزارع و دیگر منابع طبیعی به طور مستقیم دچار کمبود آب شده و زیان می‌بینند. منابع آب‌های سطحی و زیرزمینی نیز که از ریزش‌های جوی تغذیه می‌شوند، با کمبود آب مواجه می‌شوند (۵). تحقیقات زیادی در ابعاد گوناگون خشکسالی در نقاط مختلف دنیا انجام شده است.

بوناکورسو و همکاران (۸)، تجزیه و تحلیل خشکسالی را با استفاده از شاخص SPI در خلال سال‌های ۱۹۶۶-۱۹۷۶ از جزیره سیسیلی انجام دادند. ایشان این کار را با استفاده از ۴۳ استگاه باران سنجی که به طور یکنواخت در تمام منطقه مورد مطالعه پراکنده شده بود انجام دادند. به منظور بررسی تغییرپذیری بلند مدت خشکسالی، تجزیه به مولفه‌های اصلی PCA را روی SPI های محاسبه شده اعمال نمودند. نتایج نشان داد که کل جزیره سیسیلی درگیر خشکسالی‌های بلند مدت از سال ۱۹۷۰ به بعد بوده است.

ساکیری و همکاران (۱۲)، ارزیابی خشکسالی منطقه‌ای را برای شناخت شدت، مدت و مساحت درگیر خشکسالی، بر پایه شاخص

پدیده خشکسالی از جمله بلایای طبیعی است که امکان پیشگیری از آن وجود ندارد. این پدیده با دیگر بلایای طبیعی از قبیل سیل، زلزله، طوفان و غیره از جنبه‌های مختلف تفاوت‌هایی دارد. نخست اینکه این پدیده به کندی شروع می‌شود و تأثیر آن بتدریج هم در زمان و هم در مکان گسترش می‌یابد. دیگر اینکه اثرات نامطلوب این پدیده در بخش‌های مختلف مانند منابع آب، کشاورزی، اجتماعی، اقتصادی، زیست محیطی وغیره ظاهر می‌شود و علاوه بر خود منطقه سایر نواحی اطراف را نیز تحت تأثیر قرار می‌دهد. سوم اینکه تعیین دقیق زمان شروع و خاتمه این پدیده به آسانی قابل پیش‌بینی نیست، به همین دلیل خشکسالی را پدیده‌ای خنده نوصیف می‌کنند. خشکسالی در زمینه‌های مختلف، هم به طور مستقیم و هم به طور

۱- دانشجوی سابق کارشناسی ارشد منابع آب، دانشکده کشاورزی دانشگاه تبریز
(*)- نویسنده مسئول: (Email: ghorbani.aghdam@gmail.com)

۲- ۳ و ۴- به ترتیب استادیار، استاد و استادیار دانشکده کشاورزی دانشگاه تبریز

۵-Principal Component Analysis (PCA)

6 -Standardized Precipitation Index (SPI)

پس از جمع‌آوری داده‌های بارش ایستگاه‌های موجود در استان اصفهان و حذف ایستگاه‌های دارای آمار ناقص، سری زمانی این نمایه در مقیاس‌های زمانی ۳، ۶، ۹ و ۱۲ ماهه را بدست آوردند. سپس با استفاده از روش‌های زمین آمار، نقشه‌های گستره فراوانی خشکسالی در مقیاس زمانی ۱۲ ماهه را ترسیم نمودند. نتایج نشان داد که خشکسالی‌های متوسط و شدید به طور عمده در قسمت‌های غرب استان در اطراف ایستگاه‌های داران، فریدونشهر و خشکسالی‌های بسیار شدید در بخش‌های شرق و شمال شرقی استان و غرب شهرستان اصفهان اتفاق افتاده اند.

عیوضی و همکاران (۴)، به منظور پیش‌بینی خشکسالی، از دو نوع شبکه عصبی مصنوعی پرسپترون چند لایه (MLP) و تابع شعاعی (RBF) استفاده نمودند. بدین منظور از داده‌های بارندگی ایستگاه نوده با دوره آماری ۴۱ ساله در حوضه آبخیز گرگان رود استفاده نمودند. ایشان وضعیت رطوبتی را با استفاده از شاخص بارندگی استاندارد شده (SPI) در دوره زمانی کوتاه مدت (۱، ۳، ۶ و ۹ ماهه) و بلند مدت (۱۲، ۲۴ و ۴۸ ماهه) محاسبه نمودند. نتایج نشان داد که شبکه عصبی مصنوعی MLP نسبت به شبکه عصبی مصنوعی RBF با دقت بالاتری مقادیر SPI و مقادیر خشکسالی را پیش‌بینی می‌کند. همچنین مقایسه نتایج با نتایج حاصل از بکارگیری ARIMA نشان دهنده دقت بالای، این روش، می‌باشد.

محمدیان و همکاران (۶)، برای مقایسه پایش خشکسالی با استفاده از شاخص‌های SPI، DI و PNI و پهنه‌بندی آنها در استان خراسان شمالی از داده‌های ماهانه بارندگی ایستگاه‌های متعلق به سازمان هواشناسی کشور واقع در این استان از سال ۱۹۸۶ تا ۲۰۰۵ استفاده نمودند. همچنین به منظور بررسی و مقایسه قابلیت‌های شاخص‌های فوق، بسته به قابلیت شاخص، شدت و مدت خشکسالی برای هر یک از ایستگاه‌ها در مقیاس سالانه محاسبه نمودند. ایشان برای IDW روش برسی وسعت خشکسالی، نقشه‌های پهنه‌بندی را با روش تهیه نمودند. نتایج حاصل از پهنه‌بندی شدت خشکسالی طی دوره مورد مطالعه نشان داد که در سراسر استان خراسان شمالی وسیع‌ترین و شدیدترین خشکسالی‌ها به ترتیب در سال‌های ۱۹۹۰ و ۲۰۰۱ اتفاق افتاده است. همچنین طولانی‌ترین خشکسالی‌ها مربوط به سال‌های ۱۹۹۷-۱۹۹۴ می‌باشد که با توجه به قابلیت SPI محاسبه شده است. در سال‌های اخیر تراز سطح آب دریاچه ارومیه بطور قابل ملاحظه‌ای افت کرده است. جهت جلوگیری از وقوع بحران آب و به تبع آن بحران‌های اجتماعی، اقتصادی و سیاسی در منطقه لازم است مطالعات گسترده‌ای در این حوضه انجام شود. یکی از این مطالعات را فتن: زما، همگ: ارزان نظر مشتمل‌های خشکسال است.

به نظر می‌رسد پنهان‌بندی مشخصه‌های خشکسالی در حوضه آبریز دریاچه ارومیه تا حال انجام نشده است. هدف این مقاله استفاده از روش تجزیه به عامل‌ها جهت پنهان‌بندی حوضه آبریز دریاچه ارومیه

شناسایی خشکسالی (RDI)، انجام دادند. ایشان در این مطالعه، شاخص جدید شناسایی خشکسالی (RDI)، همراه با شاخص استاندارد بارش و روش دهک را پیشنهاد نمودند. شاخص (RDI)، به دلیل در نظر گرفتن بارش، پارامترهای هواشناسی و تبخیر تعرق پتانسیل، نسبت به دیگر شاخص‌ها برتری نشان داد. شناسایی مشخصه‌های خشکسالی با استفاده از شاخص‌های مذکور در حوضه رودخانه‌های مورنو و نستر در یونان در خلال سال‌های ۱۹۶۴-۱۹۹۷ انجام شد. نتایج نشان داد که بطور کلی پاسخ RDI به نوسانات بارش شبیه به SPI است ولی این شاخص برای شناسایی تغییرات محیطی حساس‌تر و مناسب‌تر می‌باشد.

کائی و همکاران (۱۰)، مشخصه‌های خشکسالی را در حوضه رودخانه ولتا در غرب آفریقا با استفاده از اطلاعات ۵۲ ایستگاه هواشناسی مورد مطالعه قرار داد. ایشان شدت خشکسالی، وسعت نواحی درگیر خشکسالی و فراوانی مربوط به تعداد خشکسالی‌ها را با استفاده از روش SPI در دوره آماری ۱۹۶۱ تا ۲۰۰۵ مطالعه کردند. آن‌ها نشان دادند که ناحیه مذکور در سال‌های ۱۹۶۱، ۱۹۸۳، ۱۹۹۲ و ۲۰۰۱ دچار خشکسالی شده است. در این سال‌ها بیش از ۷۵ درصد مساحت منطقه درگیر خشکسالی‌های بسیار شدید با SPI کمتر از -۲ بهده است.

کاراواتیز و همکاران (۹)، شاخص استاندارد بارش را برای خشکسالی یونان مورد استفاده قرار دادند. ایشان مهمترین هدف از این مطالعه را استفاده از یک شاخص خشکسالی، مانند SPI بیان نمودند که منجر به درک بهتری از مدت، مقدار و گسترش مکانی خشکسالی در مناطق نیمه خشک مانند یونان می‌شود. این تحقیق، کاربردی بودن شاخص SPI را برای همه مناطق یونان مورد آزمایش قرار داد. برای این منظور از داده‌های بارندگی ۴۶ ایستگاه بارندگی در خلال سال‌های ۱۹۴۷-۲۰۰۴ و برای مقیاس‌های زمانی ۱، ۳، ۵ و ۲۴ ماهه استفاده نمودند. ایشان برای نمایش مکانی مقادیر SPI از نرم افزار Surfer9 بهره بردن. نتایج نشان داد که SPI قابلیت بالای د. اعلام خطر و پیش‌بینی خشکسالی دارد.

در ایران نیز مطالعات گسترده‌ای روی خشکسالی انجام شده است مثلاً، دین پژوه (۱)، از داده‌های ۷۷ ایستگاه هواشناسی کشور در دوره آماری ۱۹۹۸-۱۹۹۶ استفاده و مشخصه‌های خشکسالی را با روش آنالیز الگوها مطالعه کرد. ایشان برای پهنه‌بندی اقلیم از روش‌های تجزیه به عامل‌ها و تجزیه خوش‌های بهره گرفتند که حاصل آن تschixicis ۱۰ اقلیم منمایز در سطح کشور بود. نتایج نشان داد که در ایران ۵ ناحیه بارشی کاملاً همگن و تنها یک ناحیه غیر همگن وجود دارد. همچنین نتایج حاصل از پهنه‌بندی خشکی نیز نشان داد که در ایران ۵ ناحیه خشک، متمایز و وجود دارد.

سلطانی و همکاران (۳)، از نمایه بارش استاندارد شده (SPI)، به منظور پنهانی خشکسالی در استان اصفهان استفاده نمودند. ایشان

$$S = \frac{x^T x}{(n-1)} \quad (2)$$

که در آن $X^T X$ ترانهاده ماتریس X است.

در روش FA تنها m مولفه اصلی که مقدار ویژه آنها بیش از یک بودند (۱۱) در نظر گرفته شدند.

در این مطالعه مقادیر ویژه و ضرایب عامل‌ها محاسبه شدند. گرچه برای گرینش عامل‌های مهم معیارهای مختلفی وجود دارد (۷)، ولی در این مطالعه دارا بودن مقدار ویژه بزرگتر از یک که توسط بسیاری از محققین دیگر نیز بکار گرفته شده‌اند در نظر گرفته شد. پس از تعیین عامل‌های مهم چرخش ضرایب عامل‌ها با روش واریماکس نرمایزه به عمل آمد. هدف از چرخش محورها تغییر مکان محورهای طوری که پس از چرخش محورها تا حد امکان از مرکز ابر نقاط بگذرد (۱۱). پس از چرخش محورها با توجه به ضرایب عامل‌های جدید، ایستگاه‌ها به گروههای متمایز تفکیک شدند. پس از محاسبه ضرایب عامل‌ها منحنی‌های هم رقوم ضرایب عامل‌های مهم بر روی نقشه حوضه آبریز دریاچه ارومیه رسم گردید. با توجه به نقشه منحنی‌های هم ضریب عامل اول و مشخص کردن ایستگاه‌های با ضریب بیش از $0/5$ (از نظر قدر مطلق) یک ناحیه متمایز مشخص گردید. این کار با توجه به عامل‌های دیگر تکرار شد و در نهایت نواحی با مشخصه‌های خشکسالی مشابه از هم تفکیک شدند.

هر یک از نواحی بدست امده با SPI های ۳ و ۱۲ ماهه، که پس از تجزیه به عامل‌ها حاصل شد با روش آزمون همگنی S ویلتشار (۱۳)، به شرح زیر مورد آزمون واقع شدند. برای هر عامل انتخاب شده مناطقی که ضریب عامل‌های آنها بیشتر از $0/5$ (از نظر قدر مطلق) بود از سایر نواحی جدا شدند. سپس برای آزمون همگنی مقادیر SPI مربوطه در خصوص یکایک ایستگاه‌های واقع در یک ناحیه در نظر گرفته شدند. آنگاه ضریب تغییرات (CV) داده‌های SPI هر ایستگاه بطور جداگانه از رابطه زیر بدست آمد.

$$CV = \frac{S}{x} \quad (3)$$

که در آن S و \bar{x} به ترتیب انحراف معیار و میانگین داده‌های مربوط به SPI یک ایستگاه منفرد می‌باشد.

از سری داده‌های SPI مربوط به هر ایستگاه یک داده به ترتیب از بالا حذف شده و مقدار آماری V_j از رابطه 4 بدست امده.

$$V_j = \frac{(n_j - 1)}{n_j} \sum_{i=1}^{n_j} \left[\frac{C_{V_{j-1}}^i - \left(\sum_{l=1}^{n_j} C_{V_{j-1}}^l \right)}{n_j} \right]^2 \quad (4)$$

از نظر مشخصه‌های خشکسالی با استفاده از شاخص SPI سه و دوازده ماهه است.

مواد و روش‌ها

دریاچه ارومیه، بزرگترین دریاچه داخلی و دائمی کشور است که در شمال غرب فلات ایران، بین دو استان آذربایجان شرقی و آذربایجان غربی واقع شده است. حوضه آبریز دریاچه ارومیه بین مدار 35 درجه و 40 دقیقه تا 39 درجه و 29 دقیقه عرض شمالی و نصف النهار 44 درجه و 13 دقیقه تا 47 درجه و 53 دقیقه طول شرقی قرار گرفته است. اختلاف ارتفاع موجود در حوضه معادل 2576 متر برآورد می‌شود. این حوضه با بارش میانگین سالانه، معادل 398 میلیمتر، از نظر مقدار بارش در بین حوضه‌های منطقه‌ای ایران، مقام دوم را دراست (۲).

در این مطالعه تعداد 30 ایستگاه که دارای حداقل 30 سال آمار منتهی به سال 2009 بودند انتخاب شد. از بین ایستگاه‌ها از اطلاعات دو ایستگاه خوی و پیرانشهر که در خارج حوضه ولی در نزدیکی مرز ان قرار دارند نیز استفاده شد. بازسازی داده‌های ناقص به روش رگرسیون خطی ساده و به کمک ایستگاه همسایه که بیشترین ضریب همبستگی داده‌ها را از خود نشان داده بود انجام شد. شاخص SPI در دو مقیاس سه و دوازده ماهه برای یکایک ایستگاه‌ها محاسبه شد. برای این منظور ازتابع توزیع گاماًی دو پارامتری استفاده گردید. پارامترهای این توزیع به روش حداکثر درست نمایی برآورد شدند. مقادیر SPI محاسبه شده برای هر ایستگاه، در مقیاس سه و دوازده ماهه بطور جداگانه، در یک ستون بصورت تاریخی در نظر گرفته شدند. سپس با نرم افزار Statistica تجزیه به عامل‌ها به منظور محاسبه مقادیر ویژه و بردارهای ویژه، انتخاب تعداد منطقی مولفه‌های اصلی، استفاده شد. برای انجام تجزیه به عامل‌ها^۱ (FA) ابتدا عمل تجزیه به مولفه‌های اصلی (PCA) انجام شد و سپس سعی شد که متغیرها به تعداد P چنان به صورت ترکیب خطی از عامل‌ها ارائه شود که تعداد عامل‌ها بمراتب کمتر از تعداد متغیرها باشد (۱۱). اگر S ماتریس واریانس-کواریانس داده‌ها فرض شود در تجزیه به مولفه‌های اصلی بردار ویژه مربوط به مقدار ویژه ماتریس واریانس-کواریانس، S ، از حل معادله زیر بدست آمد:

$$|S-\lambda I|=0 \quad (1)$$

که در آن I ماتریس واحد با ابعاد $(P \times P)$ بوده و λ بردار ویژه نظیر مقدار ویژه است در این مطالعه ماتریس واریانس-کواریانس S از رابطه زیر بدست آمد:

a = 0/05 مقایسه گردید. اگر S محاسباتی بزرگتر از X^2 جدول می‌شد ناحیه غیر همگن، و در غیر اینصورت ناحیه همگن تلقی می‌گردید. همگنی همه نواحی بدست آمده در حوضه با توجه به SPI های ۳ و ۱۲ ماهه بطور جداگانه مورد آزمون قرار گرفتند.

نتایج و بحث

جدول ۱ نتایج حاصل از تجزیه به عامل‌های مقادیر SPI سه ماهه را نشان می‌دهد. به طوری که از این جدول می‌توان استنباط کرد، ۵ عامل اول بخش مهمی از واریانس کل داده‌های ۳۰ ایستگاه را توجیه می‌کند. به عبارت دیگر ۵ عامل اول در مجموع بیش از ۶۸ درصد واریانس داده‌ها را توجیه می‌کند که این عامل‌ها دارای مقدار ویژه بزرگتر از یک هستند. عامل اول به تنها‌یابی نزدیک به ۴۶ درصد واریانس داده‌ها را توجیه می‌کند.

شکل ۱ نمودار صخره‌ای (Scree plot) حاصل از تجزیه به عامل‌های مقادیر SPI سه ماهه ایستگاه‌های حوضه دریاچه ارومیه را نشان می‌دهند. بطوری که از شکل ۱ می‌توان استنباط کرد، مقادیر ویژه اول تا پنجم دارای مقدار بزرگتر از یک هستند. به عبارت دیگر ۵ عامل اول براساس معیار دارا بودن مقدار ویژه بزرگتر از یک به عنوان عامل‌های مهم تشخیص داده شدند. سایر عوامل به علت پائین بودن مقدار ویژه واریانس ناچیزی از داده‌ها را توجیه می‌کند و بنابراین عوامل ششم به بعد در این مطالعه حذف شده‌اند. قبل از چرخش محورها عامل اول ایستگاه‌های میاندوآب، نقد، ارومیه و اشنویه که در جنوب و جنوب غربی دریاچه ارومیه قرار دارند از یک طرف و نیز ایستگاه‌های آغچه کهل و باشیزوجان از طرف دیگر، را توجیه می‌کند.

که در آن $C_{V_{n-1}}^i$ مقدار CV محاسبه شده برای همان سری پس از حذف داده شماره n است و n_j تعداد داده‌های ایستگاه زام است. بنابراین، مقادیر V_j ، به تعداد j ایستگاه واقع در یک ناحیه متمایز از حوضه دریاچه ارومیه بطور جداگانه محاسبه شدن. آنگاه مقدار آماره V برای یک ناحیه مشخص از حوضه دریاچه ارومیه از رابطه (۵) بدست آمد که در آن N تعداد ایستگاه‌های آن ناحیه است.

$$V = \frac{1}{N} \sum_{j=1}^N n_j V_j \quad (5)$$

بنابراین، با قرار دادن مقادیر V_j در رابطه بالا یک عدد منفرد برای V مربوط به یک ناحیه منفرد مشکل از زایستگاه بدست آید. همین که V بدست آمد آماره U_j از رابطه زیر محاسبه شد.

$$U_j = \frac{V}{n_j} \quad (6)$$

پس از محاسبه U_j برای ایستگاه زام و یکایک ایستگاه‌ها (به تعداد j ایستگاه در یک ناحیه منفرد)، مقادیر مربوطه در رابطه زیر قرار داده شد تا آماره C_{vo} بدست آید که در آن C_{vo} مقدار CV برای ایستگاه زام است که از رابطه (۳) بدست آمد.

$$C_{vo} = \frac{\sum_{j=1}^N \frac{C_{v_j}}{U_j}}{\sum_{j=1}^N \frac{1}{U_j}} \quad (7)$$

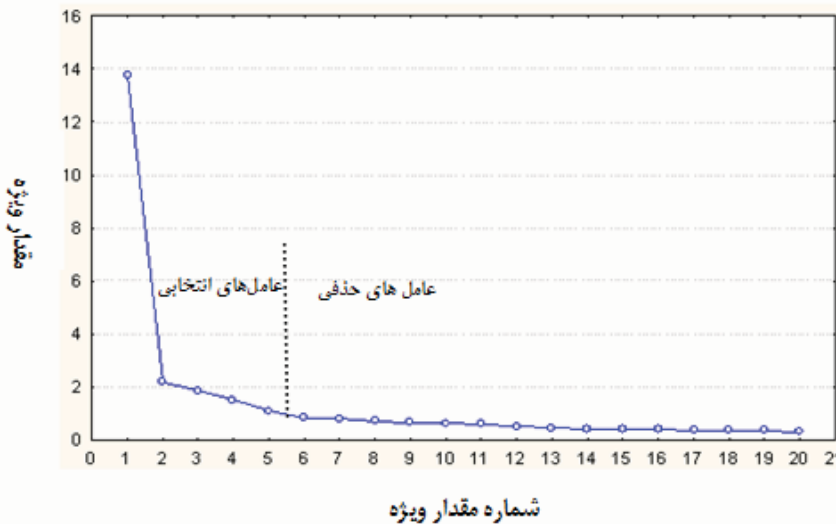
در نهایت با قرار دادن C_{vo} در رابطه زیر مقدار آماره S برای یک ناحیه منفرد محاسبه شد.

$$S = \sum_{j=1}^N \frac{(C_{v_j} - C_{vo})}{U_j} \quad (8)$$

آنگاه مقدار آماره S با مقدار X^2 جدول با درجه آزادی $N-1$ که در آن n تعداد ایستگاه‌های یک ناحیه است در سطح معنی داری

جدول ۱- نتایج حاصل از تجزیه به عامل‌های مقادیر SPI سه ماهه ایستگاه‌های حوضه دریاچه ارومیه (۱۹۷۲-۲۰۰۹)

شماره عامل	مقادیر ویژه قبل از چرخش	قبل از چرخش				بعد از چرخش			
		درصد واریانس تجمعی		درصد واریانس قبل از چرخش	درصد واریانس قبل از چرخش	درصد واریانس بعد از چرخش			
		قبل از چرخش	بعد از چرخش						
۱	۱۳/۷۶۸۵۸	۴۵/۸۹۵۲۸	۴۵/۸۹۵۲۸	۳/۹۲۸۲۱	۱۳/۰۹۴	۱۳/۰۹۴	۱۳/۰۹۴	۱۳/۰۹۴	۱۳/۰۹۴
۲	۲/۱۹۱۱۶	۷/۳۰۳۸۸	۵۳/۱۹۹۱۶	۶/۵۱۲۳۳	۲۱/۷۰۷	۳۴/۸۰۱	۳۴/۸۰۱	۳۴/۸۰۱	۳۴/۸۰۱
۳	۱/۸۵۴۶۷	۶/۱۸۲۲۳	۵۹/۳۸۱۳۸	۱/۸۹۷۴۵	۶/۳۲۴	۴۱/۱۲۵	۴۱/۱۲۵	۴۱/۱۲۵	۴۱/۱۲۵
۴	۱/۵۲۷۵۷	۵/۰۹۱۹۰	۶۴/۴۷۳۲۹	۵/۰۹۳۳۶	۱۶/۹۷۷	۵۸/۱۰۲	۵۸/۱۰۲	۵۸/۱۰۲	۵۸/۱۰۲
۵	۱/۰۸۴۳۷	۳/۶۱۴۵۸	۶۸/۰۸۷۸۷	۲/۹۹۵۰۱	۹/۹۸۳	۶۸/۰۸۷	۶۸/۰۸۷	۶۸/۰۸۷	۶۸/۰۸۷



شکل ۱- نمودار صخره‌ای حاصل از تجزیه به عامل‌های مقادیر SPI سه ماهه حوضه دریاچه ارومیه

اول ایستگاه‌های مهریان و قزلچه را توجیه می‌کند. عامل دوم ایستگاه‌های میاندوآب، خرمزارد، خوشه مهر، ملکان و مراغه را که در قسمت شرق میانی حوضه واقع اند توجیه نموده و ایستگاه‌های مذکور را در یک پهنه جای می‌دهد. عامل سوم ایستگاه‌های میرآباد واقع در غرب حوضه و سقز که در جنوب حوضه قرار دارد را توجیه می‌کند. عامل چهارم ایستگاه‌های باسمنج، چرم خواران، شبستر و زینجان را توجیه می‌کند. عامل پنجم نیز بر اساس معیار ضریب عامل ۷/۰ هیچ ایستگاهی را توجیه نمی‌نماید. بنابراین تصمیم گرفته شد که معیار ضریب عامل ۷/۰ را کاهش داده و با توجه به ضریب عامل ۵/۰ پهنه‌ها از همدیگر تفکیک شوند. به این ترتیب که با توجه به هر عامل (مثلاً عامل اول)، ایستگاه‌هایی که ضریب عامل ۵/۰ یا بیشتر دارند، در یک پهنه قرار گیرند. به این ترتیب نقشه نواحی متمایز از نظر خشکسالی در حوضه تهیه شد (نشان داده نشده است).

با استفاده از روش آزمون همگنی ویلتشار (VLS)، مقادیر آماره S ویلتشار (جدول ۲) برای هر یک از نواحی بدست آمد. بطوریکه از جدول ۲ می‌توان نتیجه گرفت همه نواحی بدست آمده همگن هستند.

همچنین عامل اول سه ایستگاه خرمزارد، خوشه مهر و ملکان که در ناحیه جنوب شرقی دریاچه ارومیه قرار دارند را توجیه می‌کند. ضمناً ایستگاه‌های زرنق، مراغه، سراب و تبریز با عامل اول توجیه می‌شوند. عامل‌های دوم تا پنجم نیز بر اساس معیار ضریب عامل ۷/۰ هیچ ایستگاهی را توجیه نمی‌نماید. بنابراین، می‌توان استنباط کرد که برای اینکه نواحی بهتر قابل تفکیک باشند لازم است چرخش محورها انجام شود. در این مطالعه چرخش محورها بصورت متعامد با روش واریماکس نرمالایز انجام شده است.

نتایج نشان داد که پس از چرخش عامل‌ها با روش Varimax Normalize مقدار ویژه و واریانس توجیه شده توسط عامل‌های منتخب تغییر کرده است. به عنوان مثال مقدار مقدار ویژه مربوط به عامل-های اول و دوم قبل از چرخش، ۱۳/۷ و ۲/۲ ولی بعد از چرخش ۳/۹ و ۶/۵ بود. همچنین واریانس توجیه شده برای عامل‌های اول و دوم به ترتیب ۴۵/۸ و ۷/۳ درصد بود که پس از چرخش به ۶/۳ و ۲۷/۱ تغییر یافتد. با این حال مجموع واریانس توجیه شده توسط عامل‌های منتخب (۵ عامل اول)، بدون تغییر باقی ماند. نتایج نشان داد که عامل

جدول ۲- نتایج آزمون همگنی نواحی بدست آمده از تجزیه به عامل‌ها با آماره S ویلتشار برای داده‌های SPI سه ماهه

شماره ناحیه	تعداد ایستگاه	مقدار آماره S	درجه آزادی (N-1)	کی دو جدول با درجه آزادی (N-1) و سطح معنی داری ۰/۰۵	نتیجه
۱	۵	۵/۶۲	۴	۹/۴۹	همگن
۲	۱۰	۲/۲۴	۹	۱۶/۹۲	همگن
۳	۲	۰/۷۸	۱	۳/۸۴	همگن
۴	۷	۱/۹۲	۶	۱۴/۰۷	همگن
۵	۳	۰/۳۷	۲	۵/۹۹	همگن

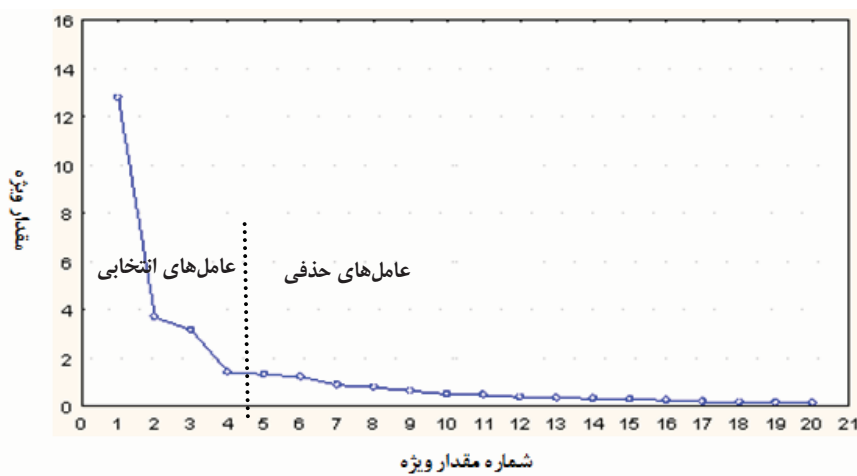
قبل از چرخش محورها عامل اول ایستگاه‌های میاندوآب، نقده، ارومیه و اشنویه که در جنوب و جنوب غربی دریاچه ارومیه قرار دارند از یک طرف و نیز ایستگاه‌های آغچه کهل و باشیزوجان که در ناحیه ارتفاعات سهند واقع اند از طرف دیگر، را توجیه می‌کند. همچنین عامل اول سه ایستگاه خرمزارد، خوشمه و ملکان که در ناحیه جنوب شرقی دریاچه ارومیه قرار دارند را توجیه می‌کند. ضمناً ایستگاه‌های زرنق، مراغه، سراب و تبریز با عامل اول توجیه می‌شوند. عامل‌های دوم نیز ایستگاه‌های شبستر و چرمخواران را توجیه می‌نماید. پس از چرخش محورها بر اساس معیار ضریب $0.7/0$ عامل‌های یک تا شش هر کدام برخی از ایستگاه‌ها را در یک پهنه مجزا ساخته‌اند که دارای ویژگی SPI دوازده ماهه مشابه هستند. عامل اول با در نظر گرفتن معیار $0.7/0$ تعداد ۷ ایستگاه را در یک پهنه از دیگر ایستگاه‌ها متمایز ساخته است. عامل‌های ۲، ۳ و ۴ به ترتیب، ۲، ۵ و ۶ ایستگاه را در حوضه دریاچه ارومیه از بقیه جدا کرده است.

جدول ۳ نتایج حاصل از تجزیه به عامل‌های مقادیر SPI دوازده ماهه منتهی به مارس را نشان می‌دهد. به طوری که از این جدول می‌توان استنباط کرد، ۶ عامل اول بخش مهمی از واریانس کل داده‌های ۳۰ ایستگاه را توجیه می‌کند. به عبارت دیگر ۶ عامل اول در مجموع بیش از ۷۸ درصد واریانس داده‌ها را توجیه می‌کند که این عامل‌ها دارای مقدار ویژه بزرگتر از یک هستند. عامل اول به تنها ۴۷ درصد واریانس داده‌ها را توجیه می‌کند. عامل‌های ۲، ۳، ۴، ۵ و ۶ به ترتیب بیش از $12/3$ درصد، $10/5$ درصد، $4/7$ درصد واریانس داده‌ها را توجیه می‌کند.

شکل ۲ نمودار صخره‌ای حاصل از تجزیه به عامل‌های مقادیر SPI دوازده ماهه ایستگاه‌های حوضه دریاچه ارومیه را نشان می‌دهند. بصوری که از شکل ۲ می‌توان استنباط کرد، مقادیر ویژه اول تا ششم دارای مقدار بزرگتر از یک هستند. به عبارت دیگر ۶ عامل اول براساس معیار دارا بودن مقدار ویژه بزرگتر از یک به عنوان عامل‌های مهم تشخیص داده شدند.

جدول ۳- نتایج حاصل از تجزیه به عامل‌های مقادیر SPI دوازده ماهه ایستگاه‌های حوضه دریاچه ارومیه (۱۹۷۲-۲۰۰۹)

شماره عامل	قبل از چرخش			بعد از چرخش			درصد واریانس تجمعی بعد از چرخش
	مقدار ویژه قبل از چرخش	درصد واریانس درصد واریانس قبل از چرخش	درصد واریانس درصد واریانس قبل از چرخش	مقدار ویژه بعد از چرخش	درصد واریانس درصد واریانس بعد از چرخش	مقدار ویژه بعد از چرخش	
۱	۱۲/۰۰۲۸	۴۲/۶۷۶۲	۴۲/۶۷۶۲	۷/۶۴۲۷	۲۵/۴۷۵۷	۲۵/۴۷۵	
۲	۳/۰۰۲۷	۱۲/۳۴۲۶	۵۵/۰۱۸۸	۳/۴۷۲۲	۱۱/۵۷۴۱	۳۷/۰۴۹	
۳	۳/۱۷۰۸	۱۰/۵۶۹۵	۶۵/۵۸۸۳	۵/۲۹۵۲	۱۷/۶۵۰۷	۵۴/۷۰۰	
۴	۱/۴۲۴۸	۴/۷۴۹۵	۷۰/۳۳۷۹	۱/۹۶۵۳	۶/۵۴۱	۶۱/۳۴۱	
۵	۱/۳۳۲۷	۴/۴۴۲۶	۷۴/۷۸۰۵	۲/۳۴۴۶	۷/۸۱۵۵	۶۹/۰۵۷	
۶	۱/۲۳۰۶	۴/۱۰۲۱	۷۸/۸۸۲۶	۲/۹۴۷۶	۹/۸۲۵۵	۷۸/۸۸۲	



شکل ۲- نمودار صخره‌ای حاصل از تجزیه به عامل‌های مقادیر SPI دوازده ماهه حوضه دریاچه ارومیه

جدول ۴ نتایج آزمون همگنی نواحی بدست آمده پس از تجزیه به عامل‌های مقادیر SPI های ۱۲ ماهه را با آماره S ویلتشاریر نشان میدهد. بطوریکه از این جدول می‌توان استنباط کرد همه نواحی بدست آمده همگن هستند. لازم به ذکر است ناحیه ۲ که دارای ۳ ایستگاه است دارای مقادیر S بزرگتر از کی دو جدول ولی نزدیک به آن می‌باشد و بنابراین، در این مطالعه این ناحیه نیز تقریباً همگن تلقی گردید. شکل ۳ نقشه همگنی نواحی بدست آمده از تجزیه به عامل‌ها برای داده‌های SPI دوازده ماهه را نشان می‌دهد.

نتیجه‌گیری

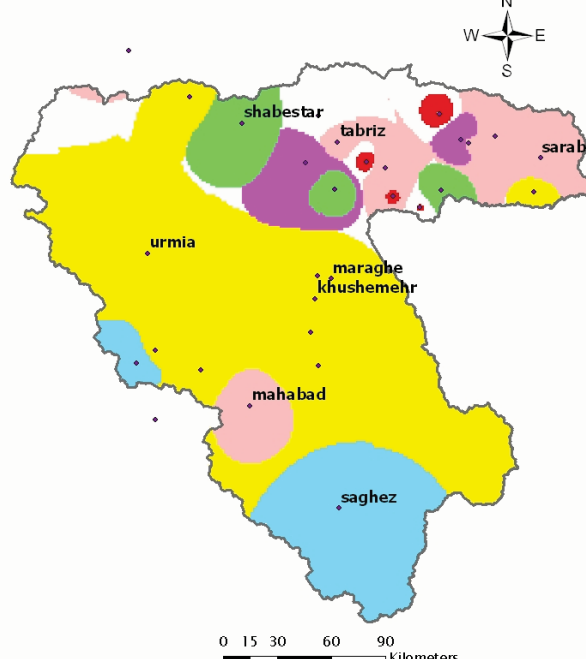
در این مطالعه کل حوضه آبریز دریاچه ارومیه با توجه به شاخص SPI در مقیاس‌های سه و دوازده ماهه به نواحی متمایز از هم تفکیک شد برای این کار از روش تجزیه به عامل‌ها استفاده شد.

عامل پنجم بر اساس معیار ضریب عامل ۰/۷ هیچ ایستگاهی را از بقیه متمایز نکرده است. ولی بر اساس ضریب عامل پایین‌تر مثل ۰/۵ تعداد سه ایستگاه را متمایز کرده است. و در نهایت عامل ششم بر اساس معیار ضریب عامل ۰/۷ تعداد دو ایستگاه را از بقیه متمایز کرده است.

پس از چرخش عامل‌ها با روش واریماکس نرم‌الایز نتایج حاصله نشان داد که عامل اول ایستگاه‌های اشنویه، نقد، میاندوآب، ملکان، خوش‌مهر، خرم‌آزاد و مراغه و عامل دوم نیز ایستگاه‌های شبستر و چرم خواران را توجیه می‌نماید. عامل سوم ایستگاه‌های مهربان و قزلچه را که در قسمت شمال غرب حوضه واقع اند را به همراه مهاباد، سعیدآباد و سراب توجیه می‌کند. عامل چهارم نیز ایستگاه‌های سقز و میرآباد را در یک پهنه جای می‌دهد. عامل پنجم نیز هیچ ایستگاهی را توجیه نمی‌کند. عامل ششم ایستگاه‌های سرای و باسمنج را توجیه نموده و در یک پهنه جای می‌دهد.

جدول ۴- نتایج آزمون همگنی S ویلتشاریر برای داده‌های SPI دوازده ماهه و نواحی بدست آمده از تجزیه به عامل‌ها

نتیجه	کی دو جدول با درجه آزادی (N-1) و سطح معنی داری ۰/۰۵	درجه آزادی (N-1)	مقادیر آماره S	تعداد ایستگاه	شماره ناحیه
همگن	۱۹/۶۸	۱۱	۰/۰۳	۱۲	۱
همگن	۵/۹۹	۲	۶/۰۲	۳	۲
همگن	۱۴/۰۷	۷	۰	۸	۳
همگن	۳/۸۴	۱	۰/۸۳	۲	۴
همگن	۵/۹۹	۲	۰/۲۳	۳	۵
همگن	۷/۸۱	۳	۰/۰۱	۴	۶



شکل ۳- نقشه همگنی نواحی بدست آمده از تجزیه به عامل‌ها برای داده‌های SPI دوازده ماهه

میاندوآب، پیرانشهر، ارومیه، تسوج، ملکان، خوشه مهر، خرمازد، هریس و مراغه، عامل دوم شبستر، چرم‌خواران و زینجناب، عامل سوم مهریان، قزلچه، مهاباد، سعیدآباد، سراب، خوی و تبریز، عامل چهارم سقز و میرآباد عامل پنجم زرنق و اسفهلان، عامل ششم ایستگاه‌های سرای، باسمنج، باشیزوچان و آغچه را توجیه نموده و در یک پهنه جای می‌دهد. همگنی هر ناحیه نیز با توجه به مقادیر ضریب تغییرات SPI با روش پیشنهادی ویلتشاریر بررسی گردید. نتایج نشان داد که همه نواحی بدست آمده با هر یک از مقیاس‌های ۳ و ۱۲ ماهه همگن هستند. با این حال در مقیاس ۱۲ ماهه فقط یک ناحیه تقریباً همگن تشخیص داده شد.

در این مطالعه پهنه‌بندی حوضه آبریز دریاچه ارومیه بر اساس داده‌های بارش انجام شد. توصیه می‌شود با استفاده از داده‌های رواناب رودخانه‌ها و یا تراز آب زیرزمینی مشخصه‌های خشکسالی هیدرولوژیکی در این حوضه در مطالعات آتی بررسی گردد.

تجزیه به عامل‌ها یک بار برای مقادیر SPI در مقیاس سه ماهه و یک مرتبه دیگر در مقیاس دوازده ماهه انجام شد.

نتایج نشان داد که در مقیاس سه ماهه (۱۲ ماهه) تعداد ۵ عامل دارای مقدار ویژه بیش از واحد بودند. بنابراین کل ناحیه به تعداد عامل‌های منتخب به نواحی مشابه از نظر مشخصه‌های خشکسالی تفکیک شد. برای امکان تفکیک بهتر محور عامل‌ها با روش وریماکس که یک روش چرخش معتمد است چرخش داده شد. برای SPI سه ماهه نتایج نشان داد که عامل اول ایستگاه‌های مهریان، مهاباد، قزلچه، سعیدآباد و سراب، عامل دوم میاندوآب، خرمازد، تسوج، پیرانشهر، نقه، اشنویه، خوشه مهر، ملکان و مراغه، عامل سوم میرآباد و سقز، عامل چهارم باسمنج، چرم خواران، شبستر، پردلیل، اسفهلان، آغچه و زینجناب و عامل پنجم ایستگاه‌های تبریز، زرنق، هریس را توجیه می‌نماید. نتایج حاصله در مورد SPI دوازده ماهه حاکی از این بود که عامل اول ایستگاه‌های اشنویه، نقه،

منابع

- دین پژوی. ۱۳۸۲. بررسی خشکسالی‌های هواشناختی در ایران با استفاده از روش آنالیز الگوها، پایان نامه دکتری رشته مهندسی علوم و آبیاری. دانشگاه تبریز.
- سازمان جغرافیایی نیروهای مسلح. ۱۳۸۱. فرهنگ جغرافیایی رودهای کشور (حوضه آبریز دریاچه ارومیه). انتشارات وزارت دفاع و پشتیبانی نیروهای مسلح، ۱۳۳ ص.
- سلطانی س. و سعادتی س. ۱۳۸۶. پهنه‌بندی خشکسالی در استان اصفهان با استفاده از نمایه استاندارد بارش، مجله علمی-پژوهشی علوم و مهندسی آبخیزداری ایران، سال ۱، شماره ۲، صفحه ۶۷-۶۴.
- عیوضی م.، مساعدی ا. و دهقانی ا. ۱۳۸۸. مقایسه روش‌های مختلف پیش‌بینی شاخص خشک سالی SPI، مجله پژوهش‌های حفاظت آب و خاک، جلد ۱۶، شماره ۲، صفحه ۱۶۷-۱۴۵.
- کردانی پ. ۱۳۷۵. خشکسالی و راهکارهای مقابله با آن در ایران، انتشارات دانشگاه تهران، چاپ هفتم.
- محمدیان آ.، کوهی م. و آدینه بیگی آ. ۱۳۸۹. مقایسه پایش خشک سالی با استفاده از شاخص‌های SPI، DI و PNI و پهنه‌بندی آنها (مطالعه موردي استان خراسان شمالی)، مجله پژوهش‌های حفاظت آب و خاک، جلد هفدهم، شماره اول، صفحه ۱۸۴-۱۷۷.
- مقدم م.، محمدی شوطی س. و سربزه م. ۱۳۷۳. آشنایی با روش‌های آماری چند متغیره، انتشارات پیش‌تاز علم، ۲۰۸ ص.
- Bonaccors B., Bordi I., Cancelliere A., Rossi G. and Sutera A. 2003. Spatial variability of drought: An analysis of the SPI in Sicily. Water Resources Management 17: 273-296.
- Karavitis C.A., Alexandris S., Demetrios E. T. and Athanasopoulos G. 2011. Application of the Standardized Precipitation Index (SPI) in Greece. Water Resources Management, 3: 787-805
- Kasei R., Diekrüger B. and Leemhuis C. 2010. Drought frequency in the Volta basin of West Africa. Sustain. Sci., 589-97. Doi 10.1007/s11625-009-0101-5.
- Rencher Alvin C., 1934. Methods of Multivariate Analysis, Second Edition, ISBN: 0-471-41889-7 (cloth). A Wiley-Interscience publication, United States of America.
- Tsakiris G., Pangalou D. and Vangelis H. 2007. Regional drought assessment based on the reconnaissance drought index (RDI). Water Resour Manage. 21:821–833.
- Wiltshire S. E. 1986. Regional flood frequency analysis Homogeneity statistics. Hydrological Science Journal. 31 (3), 321-333.

Regionalization of Urmia Lake Basin from the View of Drought Using Factor Analysis

M. Ghorbani Aghdam^{1*} - Y. Dinpazuh² - A. Fakheri Fard³ - S. Darbandi⁴

Received: 14-02-2012

Accepted: 22-07-2012

Abstract

Having a correct view of the effective factors on climatic changes by explanation of a considerable part of the total variance in data with limited number of principal components the analytical methods of decreasing data dimensions, such as PCA are important tools in water resources planning. In this study factor analysis method as a tool for projecting the information space on the limited and specific axes, has been applied. The main aim of this study is regionalization of Urmia Lake basin from the view of drought using factor analysis. For this purpose monthly precipitation data of 30 weather stations in the period 1972-2009 were used. For each of the selected stations three and twelve months SPI value were calculated. Factor analysis conducted on SPI values to delineate the study area with respect to drought characteristics. Homogeneity of obtained regions tested using the S-statistics proposed by Wiltshire. Results of factor analysis of 3 (12) months SPI values showed that 5 (6) factors having eigen values greater than 1 accounted for 68.08 (78.88) percent of total variance. Urmia Lake basin delineated to 5 (6) distinct regions considering the eigenvectors following rotation using the 3 (12) month time scale. Results of homogeneity test indicated that all of the obtained regions were homogeneous.

Keywords: Eigen value, Eigen vector, Factor analysis, Drought, Principal component, Urmia, 3 and 12 months SPI

1- Former Msc student of Water Engineering, Faculty of Agriculture, University of Tabriz,Iran
(*-corresponding Author Email: ghorbani.aghdam@gmail.com)

2,3,4-Assistant Prof., Professor and Assistant Prof. of Water Engineering, Faculty of Agriculture, University of Tabriz, Iran, respectively